

# NOVOS CÓDIGOS ESPÁCIO-TEMPORAIS PARA CANAIS COM DESVANECIMENTO

*Luiz Guedes Caldeira*

Grupo de Telecomunicações  
e Eletromagnetismo Aplicado - GETEMA  
CEFETPB  
58015-430 - João Pessoa, PB, Brasil  
E-mail: guedes@cefetpb.br

*Cecilio Pimentel*

Grupo de Pesquisas em Comunicações  
Departamento de Eletrônica e Sistemas  
Universidade Federal de Pernambuco  
50711-970 - Recife, PE, Brasil  
E-mail: cecilio@npd.ufpe.br

## RESUMO

Este artigo propõe, através de uma busca computacional sistemática, novos códigos espaço-temporais que transmitem múltiplos símbolos por antena em cada transição de estados. Neste caso, o espalhamento da redundância de codificação não limita-se apenas às transmissões paralelas por múltiplas antenas, mas também ao longo das transmissões seriais em cada antena. Os códigos propostos têm ganho máximo de diversidade e apresentam ganhos de codificação em relação aos códigos espaço-temporais propostos recentemente por Tarokh et al. e Baro et al.

## 1. INTRODUÇÃO

O esquema de modulação codificada em treliça espaço-temporal (ST-TCM, do inglês *space-time trellis coded modulation*) proposto por Tarokh et al. [1]-[3] combina eficientemente os benefícios da diversidade temporal (através do uso de modulação codificada em treliça) e da diversidade espacial (através do uso de múltiplas antenas de transmissão e recepção). Os critérios para projeto de códigos ST-TCM são baseados em dois parâmetros de desempenho: i) o ganho de diversidade, que descreve a ordem de crescimento exponencial da probabilidade de erro após a decodificação versus relação sinal ruído; e ii) o ganho de codificação, que descreve o deslocamento da curva de probabilidade de erro versus relação sinal ruído em relação ao esquema não codificado. Estes parâmetros para o caso de códigos ST-TCM em presença de desvanecimento Rayleigh quase estático [1] são, respectivamente, o mínimo posto e a mínima média geométrica dos autovalores não nulos de matrizes complexas associadas a diferenças de pares de possíveis seqüências de sinais transmitidos [1]. Estes códigos apresentam bom desempenho em canais com desvanecimento plano [1]-[6], enquanto sua complexidade é comparável a códigos projetados para canais em presença de ruído aditivo Gaussiano branco.

Os códigos ST-TCM apresentados em [1]-[6] transmitem

um único símbolo por antena em cada transição de estados. Entretanto, quando deseja-se transmitir com elevada eficiência espectral, o número de ramos da treliça que diverge de um dado estado pode ser maior do que o número total de estados, resultando em códigos ST-TCM com caminhos paralelos. Neste caso, não é possível alcançar o máximo ganho de diversidade com esquemas ST-TCM [7]. Uma estratégia para se conseguir o máximo ganho de diversidade usando treliça com caminhos paralelos é através da transmissão de múltiplos símbolos por antena em cada transição de estados. Este código será denominado ST-MTCM (do inglês *space-time multiple trellis coded modulation*).

Lin e Blum propuseram em [7] uma topologia específica para códigos ST-MTCM que sistematiza e simplifica a busca de bons códigos com diferentes número de estados e eficiências espectrais. O esquema proposto é especificado por uma matriz geradora  $\mathbf{G}$ . Os sinais transmitidos em cada transição da treliça de estados são combinações lineares das linhas de  $\mathbf{G}$ . Novos códigos ST-MTCM com dois estados são propostos em [7].

Usando a estrutura ST-MTCM apresentada em [7], este artigo propõe, através de uma busca computacional sistemática sobre  $\mathbf{G}$ , novos códigos ST-MTCM com 8 e 32 estados e eficiências espectrais 2 e 3 bits/s/Hz, respectivamente. Resultados de simulações comparam os códigos ST-MTCM encontrados com os códigos ST-TCM conhecidos na literatura [1, 5] com o mesmo número de estados, eficiência espectral, número de antenas transmissoras e receptoras. Ganhos de codificação aproximadamente iguais a 1 dB foram observados em favor de ST-MTCM. A Seção 2 descreve o modelo de um sistema de comunicações que emprega códigos ST-MTCM. A topologia e as propriedades do código ST-MTCM proposto em [7] são descritas na Seção 3. Os códigos propostos e os resultados de simulações são apresentados na Seção 4. As conclusões deste trabalho são apresentadas na Seção 5.

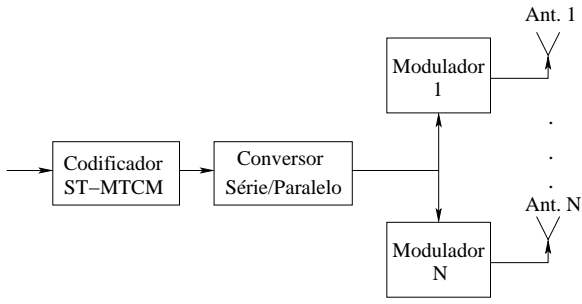


Figura 1: Diagrama em blocos de um codificador espaço-temporal.

## 2. MODELO DO SISTEMA

Considere um sistema de comunicação empregando  $N$  antenas de transmissão e  $M$  antenas de recepção, conforme ilustra a Figura 1. A sequência de informação é primeiramente codificada e transformada por um conversor série/paralelo em  $N$  sub-sequências. No  $k$ -ésimo intervalo de sinalização, os símbolos  $c_k^i$ ,  $1 \leq i \leq N$ , pertencentes a uma constelação  $m$ -PSK são modulados e transmitidos simultaneamente através de  $N$  antenas.

O sinal recebido na  $j$ -ésima antena,  $1 \leq j \leq M$ , é demodulado por um filtro casado (em banda básica) seguido de um amostrador. A envoltória complexa do sinal recebido na saída do amostrador durante o  $k$ -ésimo intervalo,  $r_k^j$ , é dado por:

$$r_k^j = \sum_{i=1}^N \alpha_k^{ij} c_k^i \sqrt{E_s} + n_k^j, \quad j = 1, 2, \dots, M, \quad (1)$$

onde  $E_s$  é a energia do sinal transmitido,  $n_k^j$  é uma amostra de um ruído aditivo Gaussiano branco complexo de média zero e variância  $N_0/2$  por dimensão e  $\alpha_k^{ij}$  é uma amostra de um ruído Gaussiano complexo que modela o desvanecimento plano no percurso entre a  $i$ -ésima antena transmissora e a  $j$ -ésima antena receptora. Cada amostra  $\alpha_k^{ij}$  tem média zero (o módulo de  $\alpha_k^{ij}$  é uma variável aleatória Rayleigh) e variância 0,5 por dimensão (com esta normalização a energia média recebida é igual a  $E_s$ ). Os sinais complexos  $c_k^i$  pertencem ao conjunto  $\{e^{j2\pi \ell/m}\}_{\ell=0}^{m-1}$ .

Considerando as antenas suficientemente separadas, assume-se que os  $NM$  percursos experimentam desvanecimentos independentes. Considere também que cada decodificador estima perfeitamente as amplitudes complexas  $\alpha_k^{ij}$  e que o algoritmo de Viterbi é empregado na decodificação. Em canais com desvanecimento Rayleigh plano e quase estático [1], os coeficientes do desvanecimento para um dado percurso são constantes durante um bloco e mudam independentemente de um bloco para outro.

A probabilidade de erro para um par de palavras código  $\mathbf{c}$  e  $\mathbf{e}$ , denotada por  $P(\mathbf{c} \rightarrow \mathbf{e})$ , é definida como a probabilidade do decodificador de máxima verossimilhança decidir erroneamente pela palavra código:

$$\mathbf{e} = e_1^1 e_1^2 \dots e_1^N e_2^1 e_2^2 \dots e_2^N \dots e_\ell^1 e_\ell^2 \dots e_\ell^N,$$

quando efetivamente

$$\mathbf{c} = c_1^1 c_1^2 \dots c_1^N c_2^1 c_2^2 \dots c_2^N \dots c_\ell^1 c_\ell^2 \dots c_\ell^N,$$

foi a palavra código transmitida. Um limitante superior para  $P(\mathbf{c} \rightarrow \mathbf{e})$  para desvanecimento Rayleigh quase estático foi desenvolvido em [1]:

$$P(\mathbf{c} \rightarrow \mathbf{e}) \leq \left( \prod_{i=1}^r \lambda_i \right)^{-M} \left( \frac{E_s}{4N_0} \right)^{-rM}, \quad (2)$$

onde  $r \leq N$  é o posto da matriz:

$$\mathbf{B}(\mathbf{c}, \mathbf{e}) = \begin{bmatrix} e_1^1 - c_1^1 & e_2^1 - c_2^1 & \dots & e_\ell^1 - c_\ell^1 \\ e_1^2 - c_1^2 & e_2^2 - c_2^2 & \dots & e_\ell^2 - c_\ell^2 \\ \vdots & \vdots & \ddots & \vdots \\ e_1^N - c_1^N & e_2^N - c_2^N & \dots & e_\ell^N - c_\ell^N \end{bmatrix}, \quad (3)$$

e  $\lambda_i, i = 1, \dots, r$ , são os autovalores não nulos da matriz  $\mathbf{A}(\mathbf{c}, \mathbf{e}) = \mathbf{B}(\mathbf{c}, \mathbf{e})\mathbf{B}(\mathbf{c}, \mathbf{e})^H$ , onde  $\mathbf{B}^H$  denota o conjugado transposto de uma matriz  $\mathbf{B}$ . Estes códigos atingem um ganho de diversidade igual a  $rM$  e um ganho de codificação igual a  $(\prod_{i=1}^r \lambda_i)^{1/r}$ . O máximo ganho de diversidade é obtido quando  $r = N$ .

A matriz  $\mathbf{B}(\mathbf{c}, \mathbf{e})$  para códigos ST-TCM com ramos paralelos terá apenas uma coluna não nula, resultando em um posto igual a 1. Desta forma o máximo ganho de diversidade não será alcançado quando  $N > 1$ .

## 3. CÓDIGO ST-MTCM

Considere um código ST-MTCM com  $2^s$  estados, onde cada transição da treliça de estados corresponde a  $p$  transmissões por antena e que uma modulação  $m$ -PSK é empregada. A Figura 2 (a) ilustra a topologia do codificador ST-MTCM proposto em [7], onde a seqüência binária de comprimento  $s$ ,  $(u_1, \dots, u_s)$  é o estado atual e a seqüência binária de comprimento  $q$ ,  $(u_{s+1}, \dots, u_{2s}, u_{2s+1}, \dots, u_{s+q})$ , é a entrada do codificador no intervalo atual. A Figura 2 (b) ilustra o mecanismo de transição de estados. Os primeiros  $s$  dígitos binários da seqüência de entrada,  $(u_{s+1}, \dots, u_{2s})$ , determinam o próximo estado, enquanto os dígitos binários restantes,  $(u_{2s+1}, \dots, u_{s+q})$ , selecionam um dos  $2^{q-s}$  possíveis ramos paralelos que conectam dois estados em intervalos consecutivos. A concatenação do estado atual com os

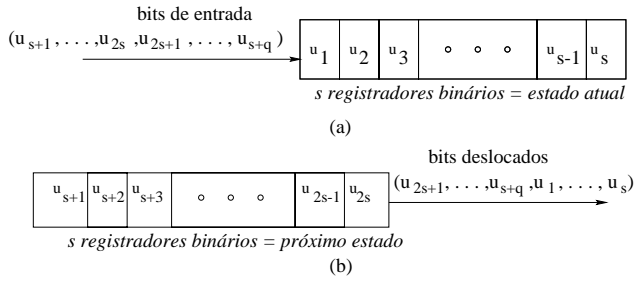


Figura 2: Topologia do codificador espaço-temporal ST-MTCM.

dígitos de entrada forma um vetor linha  $\mathbf{u}$  de comprimento  $q + s$ , definida da seguinte forma:

$$\mathbf{u} = \left[ \underbrace{u_1, \dots, u_s}_{\text{estado atual}}, \underbrace{u_{s+1}, \dots, u_{2s}}_{\text{próximo estado}}, \underbrace{u_{2s+1}, \dots, u_{s+q}}_{\text{escolhe ramos paralelos}} \right] \quad (4)$$

Pode-se representar este código ST-MTCM por uma matriz geradora  $\mathbf{G}$  [7] com  $pN$  colunas e  $s + q$  linhas, onde cada elemento de  $\mathbf{G}$  são símbolos  $m$ -PSK representados pelos inteiros  $\{0, 1, \dots, m - 1\}$ . Os  $pN$  símbolos  $m$ -PSK associados a cada ramo da treliça de estados são determinados pela multiplicação do vetor  $\mathbf{u}$  pela matriz  $\mathbf{G}$ , isto é:

$$[c_1^1, \dots, c_1^N, \dots, c_p^1, \dots, c_p^N] = \mathcal{M}(\mathbf{u} \mathbf{G} \pmod{m}),$$

onde  $\mathcal{M}(\mathbf{a})$  mapeia cada componente  $a_i$  de um vetor  $\mathbf{a}$  em  $e^{j2\pi a_i/m}$ , para  $i = 1, \dots, pN$ . Então, os rótulos dos ramos são combinações lineares das linhas de  $\mathbf{G}$ , denotadas por  $\mathbf{G}_i, 1 \leq i \leq s + q$ .

O critério para construção de códigos espaço-temporais para canais com desvanecimento Rayleigh e comportamento quase estático [1] consiste em produzir matrizes  $\mathbf{A}(\mathbf{c}, \mathbf{e})$  com máximo posto (máximo ganho de diversidade), para todos os pares distintos  $\mathbf{c}$  e  $\mathbf{e}$ . Posteriormente, o valor mínimo do ganho de codificação,  $[\det(\mathbf{A}(\mathbf{c}, \mathbf{e}))]^{1/N}$ , deve ser simultaneamente maximizado sobre todos os pares distintos  $\mathbf{c}$  e  $\mathbf{e}$ . A maximização simultânea do ganho de diversidade e codificação não é uma tarefa fácil de realizar, porém, o máximo ganho de diversidade pode ser embutido na pesquisa de máximo ganho de codificação, bastando para isso que  $[\det(\mathbf{A}(\mathbf{c}, \mathbf{e}))]^{1/N}$  seja sempre diferente de zero, garantindo assim independência linear das linhas de  $\mathbf{A}(\mathbf{c}, \mathbf{e})$ , e portanto, máximo posto. O nosso problema resume-se em determinar códigos com máximo ganho de codificação  $\eta$ , definido por:

$$\eta = \min_{\mathbf{c}, \mathbf{e}} [\det(\mathbf{A}(\mathbf{c}, \mathbf{e}))]^{1/N}, \quad (5)$$

ou

$$\eta = \min_{\mathbf{c}, \mathbf{e}} \left[ \det \left( \sum_{k=1}^{\ell/p} (\mathbf{C}_k - \mathbf{E}_k)(\mathbf{C}_k - \mathbf{E}_k)^H \right) \right]^{1/N}, \quad (6)$$

onde

$$\mathbf{C}_k = \begin{bmatrix} c_{p(k-1)+1}^1 & \dots & c_{pk}^1 \\ \vdots & \vdots & \vdots \\ c_{p(k-1)+1}^N & \dots & c_{pk}^N \end{bmatrix},$$

é composto de sinais oriundos das  $p$  transmissões nas  $N$  antenas devido a  $k$ -ésima transição de estado da treliça. Uma definição similar é empregada para  $\mathbf{E}_k$  e  $\ell$  é um múltiplo de  $p$ . Como pode ser observado em (5),  $\eta$  é limitado superiormente por  $[\det(\mathbf{A}(\mathbf{c}, \mathbf{e}))]^{1/N}$  para qualquer par  $\mathbf{c}$  e  $\mathbf{e}$ . Um bom limitante pode ser obtido considerando pares  $\mathbf{c}$  e  $\mathbf{e}$  que diferem apenas em uma transição paralela. A intra-distância para uma transição de estados específica é definida como a mínima distância entre seus caminhos paralelos:

$$d_{intra} = \min_{\mathbf{u}^i, \mathbf{u}^j} [\det(\mathbf{A}(\mathbf{c}^i, \mathbf{c}^j))]^{1/N}, \quad (7)$$

onde  $\mathbf{c}^i = \mathcal{M}(\mathbf{u}^i \mathbf{G} \pmod{m})$  e  $\mathbf{c}^j = \mathcal{M}(\mathbf{u}^j \mathbf{G} \pmod{m})$ , para vetores  $\mathbf{u}^i$  e  $\mathbf{u}^j$  que diferem entre si somente nos últimos  $q - s$  dígitos binários (os  $2s$  primeiros dígitos binários são fixados para uma determinada transição de estados).

A busca exaustiva sobre as  $m^{(s+q)pN}$  possíveis matrizes  $\mathbf{G}$  torna-se impraticável para número elevados de estados. O algoritmo de busca sub-ótimo proposto por [7], baseia-se na procura das linhas  $\mathbf{G}_i, i = 2s + 1, \dots, s + q$ , que maximizem primeiramente as intra-distâncias entre ramos paralelos, e posteriormente, busca as linhas  $\mathbf{G}_i, i = 1, \dots, 2s$ , que maximizem as inter-distâncias entre estados diferentes. Após esta busca, deve-se calcular o ganho de codificação  $\eta$  através de (5). Implementamos um algoritmo de busca baseado em [7] para achar os códigos apresentados na próxima seção.

## 4. RESULTADOS

Baseado nos critérios de construção de códigos ST-MTCM descritos nas seções anteriores, construímos um algoritmo de busca de códigos com máximo ganho de diversidade para  $N = 2$  antenas de transmissão e  $M = 1$  ou  $M = 2$  antenas de recepção (ganhos de diversidade iguais a  $NM$ , ou seja, 2 e 4). A eficiência espectral do código ST-MTCM considerado é  $q/p$  bits/s/Hz. Os códigos encontrados foram projetados para  $p = 2$  transmissões/ramo/antena e para dois caminhos paralelos ( $q = s + 1$ ) conectando estados consecutivos.

**Exemplo 4.1** Consideramos inicialmente códigos com 8 estados ( $s = 3$ ), modulação QPSK e eficiência espectral  $q/p = 2$  bits/s/Hz. Fixado  $p = 2$ , obtemos  $q = 4$ . A matriz geradora tem  $s + q = 7$  linhas e  $pN = 4$  colunas. Para melhor identificação chamaremos este código de  $C_1$ . A partir de uma busca sobre as linhas de  $\mathbf{G}$ , achamos a seguinte matriz geradora e ganho de codificação  $\eta$  para  $C_1$ :

$$\mathbf{G} = \begin{bmatrix} 1 & 0 & 1 & 1 \\ 0 & 2 & 2 & 0 \\ 0 & 1 & 1 & 0 \\ 1 & 0 & 1 & 1 \\ 0 & 2 & 2 & 0 \\ 0 & 1 & 1 & 0 \\ 2 & 2 & 0 & 2 \end{bmatrix}, \quad \eta = \sqrt{16}.$$

**Exemplo 4.2** O segundo código pesquisado tem 32 estados ( $s = 5$ ), modulação 8-PSK e eficiência espectral  $q/p = 3$  bits/s/Hz, ou  $q = 6$ . A matriz geradora tem  $s + q = 11$  linhas e  $pN = 4$  colunas. A matriz geradora  $\mathbf{G}$  e o ganho de codificação  $\eta$  para este código, denominado de  $C_2$ , são dados por:

$$\mathbf{G} = \begin{bmatrix} 5 & 0 & 3 & 2 \\ 0 & 7 & 5 & 0 \\ 0 & 5 & 7 & 0 \\ 0 & 3 & 1 & 0 \\ 0 & 1 & 3 & 0 \\ 5 & 0 & 3 & 2 \\ 0 & 7 & 5 & 0 \\ 0 & 5 & 7 & 0 \\ 0 & 3 & 1 & 0 \\ 0 & 1 & 3 & 0 \\ 3 & 5 & 6 & 4 \end{bmatrix}, \quad \eta = \sqrt{8}.$$

Apresentaremos a seguir curvas de simulações que comparam o desempenho dos códigos ST-MTCM apresentados nos exemplos acima com os códigos ST-TCM propostos na literatura que atingem máximo ganho de diversidade, para o mesmo número de estados e eficiência espectral. Durante as simulações foi padronizado um comprimento de bloco  $\ell = 130$  símbolos, no qual o desvanecimento permanece constante. A Figura 3 mostra curvas da probabilidade de erro de símbolo ( $PES$ ) após a decodificação em função da relação sinal ruído por bit  $E_b/N_0$ , denotada de SNR (do inglês *signal to noise ratio*), onde  $E_b = (pNE_s/q)$ . Três códigos de oito estados, eficiência espectral 2 bits/s/Hz e máximo ganho de diversidade ( $MN$ ) foram considerados:  $C_1$  ( $\eta = \sqrt{16}$ ) e os códigos ST-TCM propostos por Baro et al. [5] ( $\eta = \sqrt{12}$ ) e Tarokh et al. [1] ( $\eta = 3, 46$ ). Observando as curvas para o caso de duas antenas de recepção (diversidade 4), por exemplo,  $C_1$  apresenta ganhos de codificação aproximadamente iguais a 1,8 dB e 1,0 dB em relação aos códigos propostos por Tarokh et al. e Baro et al., respectivamente, para  $PES = 10^{-3}$ . Uma comparação do desempenho do código  $C_2$  e do código proposto por Tarokh

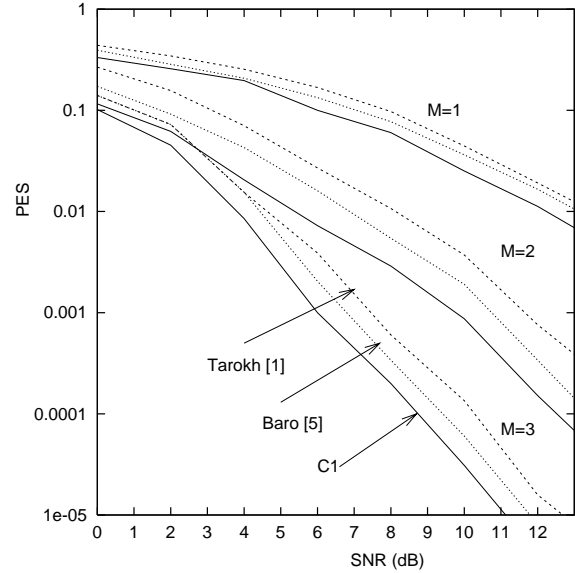


Figura 3: Probabilidade de erro de símbolo versus relação sinal ruído por bit para os três códigos com eficiência espectral 2 bit/s/Hz, 8 estados, duas antenas transmissoras e ganho de diversidade  $2M$ .  $M = 1, 2, 3$ .

et al. [1] é mostrada na Figura 4. Ganhos de codificação da ordem de 2 dB foram observados em favor do código  $C_2$ , para  $PES = 10^{-3}$ . Convém ressaltar que em [5] não foi proposto códigos com eficiência 3 bits/s/Hz.

## 5. CONCLUSÕES

Os códigos ST-TCM propostos na literatura foram projetados para alcançar máximo ganho de diversidade. Este artigo mostra que ganhos de codificação adicionais são possíveis usando esquemas ST-MTCM. Foram propostos códigos ST-MTCM com 2 e 3 bits/s/Hz, que atingem máximo ganho de diversidade e têm ganhos de codificação  $\eta_1 = \sqrt{16}$  e  $\eta_2 = \sqrt{8}$ , respectivamente. Através de curvas de simulação, ficou comprovado que os códigos ST-MTCM apresentam ganhos de codificação superiores a 1 dB em relação aos códigos ST-TCM previamente publicados, caso diversidade seja usada na antena receptora. Estes resultados motivam a busca de códigos ST-MTCM mais complexos com diferentes número de estados e eficiências espectrais.

## 6. REFERÊNCIAS

- [1] V. Tarokh, N. Seshadri, A. R. Calderbank, "Space-time codes for high data rate wireless communication: Performance criteria and code construction", *IEEE Trans. Inform. Theory*, Vol. 44, pp. 744-764, Mar. 1998.

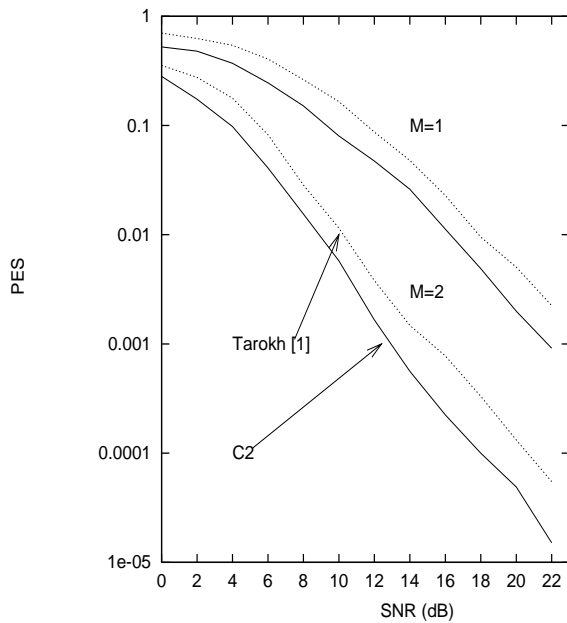


Figura 4: Probabilidade de erro de símbolo versus relação sinal ruído por bit para dois códigos com eficiência 3 bit/s/Hz, 32 estados, duas antenas transmissoras e ganho de diversidade  $2M$ .  $M = 1, 2$ .

- [2] A. F. Naguib, V. Tarokh, N. Seshadri, A. R. Calderbank, "A space-time coding modem for high data rate wireless communications", *IEEE J. Select. Commun.*, Vol. 16, pp. 1459-1478, Oct. 1998.
- [3] V. Tarokh, A. F. Naguib, N. Seshadri, A. R. Calderbank, "Space-time codes for high data rate wireless communication: Performance criteria in the presence of channel estimation errors, mobility, and multiple paths", *IEEE Trans. on Commun.*, Vol. 47, pp. 199-207, Feb. 1999.
- [4] R. S. Blum, "Analytical tools for the design of space-time convolutional codes", *submitted to IEEE Trans. Info. Theory*, 2000.
- [5] S. Baro, G. Bauch, and A. Hansmann, "Improved codes for space-time trellis coded modulation", *IEEE Commun. Letter*, vol. 4, pp. 20-22, Jan. 2000.
- [6] A. R. Hammons and H. Gamal, "On the theory of space-time codes for PSK modulation," *IEEE Trans. Inform. Theory*, vol. 46, pp. 524-542, Mar. 2000.
- [7] X. Lin and R. S. Blum, "Systematic design of space-time codes employing multiple trellis coded modulation", *submitted to IEEE Trans. Info. Theory*, 2000.